

## § Grupo de Rotações, dim 3

O grupo de Rotações é um subgrupo do grupo Ortogonal  $O(3)$ , como veremos mais a frente.

As transformações ortogonais deixam invariante a distância em  $\mathbb{R}^3$  e também o produto escalar entre vetores ordinários. Seja  $R \in O(3)$

$$R\vec{a} \equiv \vec{a}', R\vec{b} \equiv \vec{b}'$$

Usando uma base ortonormal, representamos  $R$  por uma matriz real  $(3 \times 3)$ :

$$\vec{a}'_i = \sum_j R_{ij} \vec{a}_j, \quad \vec{b}'_k = \sum_m R_{km} \vec{b}_m$$

Fazendo o produto escalar:

$$\vec{a}' \cdot \vec{b}' = \sum_i \vec{a}'_i \cdot \vec{b}'_i = \sum_{ijk} \vec{a}_j \cdot \vec{b}_k R_{ij} R_{ik}$$

$$= \sum_{jk} \vec{a}_j \cdot \vec{b}_k \sum_i R_{ij} R_{ik}$$

devemos exigir  $\sum_i R_{ij} R_{ik} = \sum_i R_{ji} R_{ik} = \delta_{jk}$

ou  $R^T \cdot R = 1 (= R \cdot R^T)$

Aí temos:

$$\vec{a}' \cdot \vec{b}' = \vec{a} \cdot \vec{b}$$

Consequência:

$$\vec{a}' \cdot \vec{a}' = \|\vec{a}'\|^2 = \vec{a} \cdot \vec{a} = \|\vec{a}\|^2$$

Matrizes reais, com  $R^T = R^{-1}$ , são chamadas matrizes ortogonais.

O grupo tem duas peças. Veja que

$$\det(R^T \cdot R) = 1 = (\det R^T)(\det R)$$

$$= (\det R)^2,$$

com  $\det R = \pm 1$

(i) Pega com  $\det R = +1$ , é um subgrupo de  $O(3)$  chamado  $SO(3)$ , que contém as rotações

(ii) Pega com  $\det R = -1$ , não é subgrupo. São chamadas de operações 'impróprias'. A operação fundamental é a inversão, que é representada pela matriz

$$I \doteq \begin{pmatrix} -1 & & \\ & -1 & \\ & & -1 \end{pmatrix}$$

Seja  $S_2$  o grupo  $\{E, I\}$ . A inversão  $I$  comuta com qualquer outra operação ortogonal.

Temos:

$$O(3) = SO(3) \times S_2$$

o grupo ortogonal completo é um produto direto.

As representações de  $S_2$  são chamadas de par e ímpar:

$S_2$	E	I
$\Gamma^{(+)}$	1	1
$\Gamma^{(-)}$	1	-1

Obtidas as RI de  $SO(3)$ ,  $\Gamma^{(+)}$ , as RI's de  $O(3)$  são dadas multiplicando pela 'paridade' ( $\Gamma^{(+)}$  e  $\Gamma^{(-)}$ ).

Quantos parâmetros independentes têm o grupo?

As condições de ortogonalidade

$$\sum_i R_{ji}^T R_{ik} = \delta_{jk},$$

para  $\dim 3$ , não  $\binom{3}{2} + 3 = 6$  relações independentes. Daí, o número de parâmetros do grupo é

$$9 - 6 = 3, \text{ reais todos}.$$

Generalizando essa conta para  $\dim n$ , obtemos

$$n^2 - \left[ \binom{n}{2} + n \right] = \frac{n(n-1)}{2},$$

que é o número de parâmetros reais independentes de  $\Theta(n)$ .

TV

## Dim - 3

A maneira mais simples de parametrizar uma rotação é usar dois parâmetros reais para definir o eixo de rotação e um outro parâmetro real para o ângulo de rotação.

O eixo de rotação (incluindo a orientação) é caracterizado por um vetor unitário

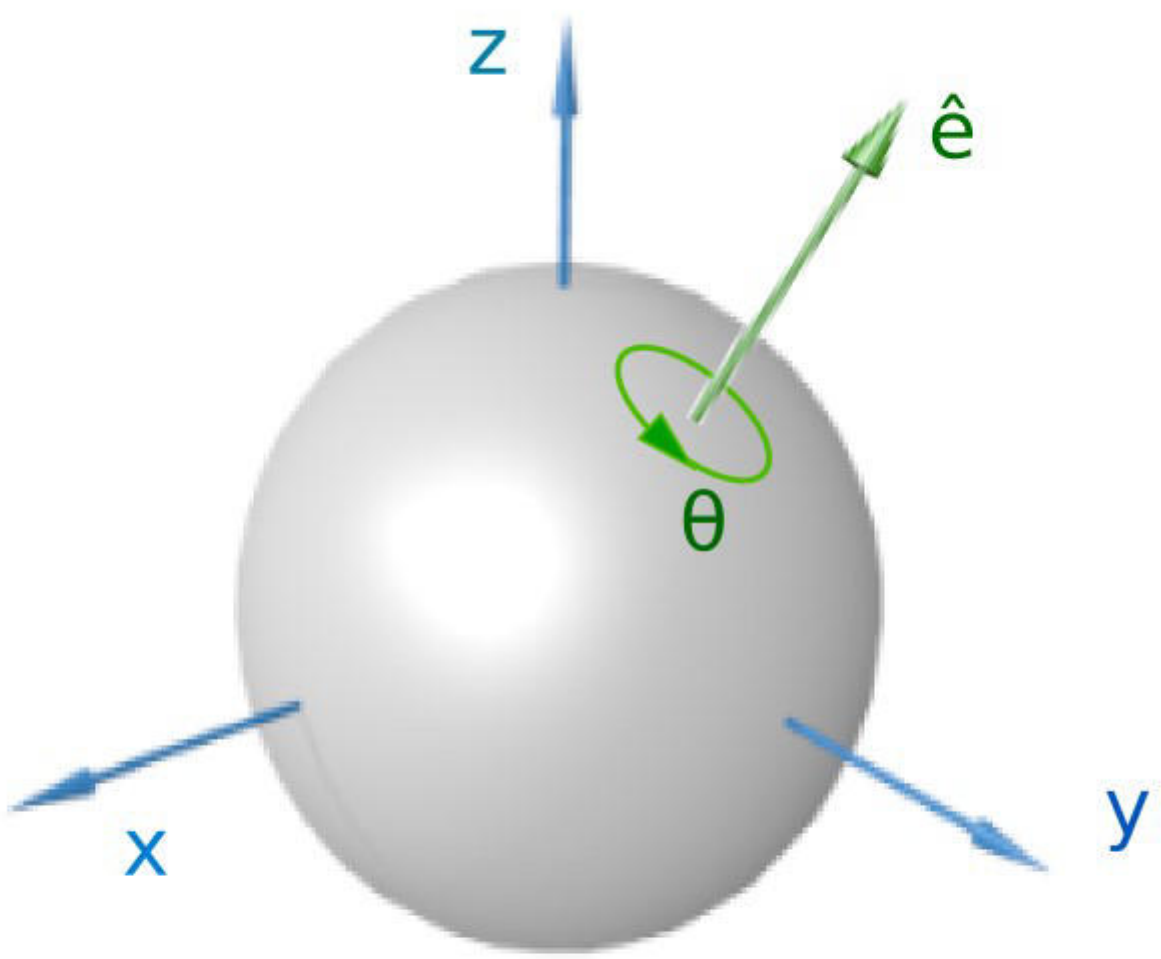
$$\hat{n} = (n_x, n_y, n_z), \text{ com}$$

$$\hat{n} \cdot \hat{n} = n_x^2 + n_y^2 + n_z^2 = 1.$$

Assim escrevemos para  $R \in SO(3)$ :

$$R = R(\hat{n}, \varphi),$$

onde  $\varphi$  é o ângulo de rotação.



# 9º ROTACÕES e MOMENTUM ANGULAR em MECÂNICA R1

## QUÂNTICA

Uma rotação espacial  $R$  é caracterizada por uma matriz ortogonal ( $3 \times 3$ ). Queremos agora obter o efeito de uma rotação no espaço dos kets, que representam os possíveis estados do nosso sistema quântico. Associamos com toda rotação  $R$  um operador

$$\mathcal{D}(R),$$

tal que o ket rodado  $|4\rangle_R$  pode ser obtido como:

$$\mathcal{D}(R)|4\rangle = |4\rangle_R \quad (1)$$

Seja  $R \underline{x} = \underline{x}'$  a ação no espaço real de uma tal rotação. É natural definir então a ação de  $\mathcal{D}(R)$  nos kets  $|\underline{x}\rangle$  como:

$$\mathcal{D}(R)|\underline{x}\rangle = |R\underline{x}\rangle. \quad (2)$$

A partir desta definição básica calculamos o efeito na função de onda:

$$\begin{aligned} \langle \underline{x} | \mathcal{D}(R)|4\rangle &= \langle \underline{x} | 4\rangle_R = \psi_R(\underline{x}) \\ &= \int d\underline{x}' \langle \underline{x} | \mathcal{D}(R) | \underline{x}' \rangle \langle \underline{x}' | 4 \rangle = \int d\underline{x}' \langle \underline{x} | R \underline{x}' \rangle \psi(\underline{x}') \end{aligned}$$

Usar agora a mudança de variável:

$$\underline{y} = R \underline{x}' \quad , \quad \underline{x}' = R^{-1} \underline{y}$$

O Jacobiano desta transformação é unitário:

$$d\tilde{x}' = \left| J(\tilde{x}, \tilde{y}) \right| dy , \quad |J(\tilde{x}, \tilde{y})| = 1 ,$$

porque a matriz  $R$  é ortogonal (uma rotação não muda os volumes). Assim

$$\begin{aligned} \psi_R(\tilde{x}) &= \langle \tilde{x} | \mathcal{Q}(R) | \psi \rangle = \int dy \langle \tilde{x} | \tilde{y} \rangle \psi(R^{-1}\tilde{y}) \\ &= \int dy \delta^{(3)}(\tilde{y} - \tilde{x}) \psi(R^{-1}\tilde{y}) = \psi(R^{-1}\tilde{x}), \end{aligned}$$

que fornece a chamada definição de Wigner para a função rodada:

$$\begin{aligned} \psi_R(\tilde{x}) &= \langle \tilde{x} | \mathcal{Q}(R) | \psi \rangle = \psi(R^{-1}\tilde{x}) \\ &= \langle R^{-1}\tilde{x} | \psi \rangle \end{aligned} \tag{3}$$

Exemplo.

Rotação no eixo  $\underline{z}$ , com ângulo  $\theta$ :  $R_z(\theta)$

$$R_z \begin{cases} x' = x \cos \theta - y \sin \theta \\ y' = x \sin \theta + y \cos \theta \\ z' = z \end{cases}$$

Rotação infinitesimal com ângulo  $\delta\theta$ :

$$R_z(\delta\theta) \begin{cases} x' = x - \delta\theta y + o(\delta\theta^2) \\ y' = \delta\theta x + y + o(\delta\theta^2) \\ z' = z \end{cases}$$

Obtemos a rotação inversa mudando de sinal o ângulo:

$$\bar{R}_z^{-1}(\theta) = R_z(-\theta),$$

e para a rotação infinitesimal temos:

$$R_z(-\delta\theta) \quad \begin{cases} x' = x + \delta\theta y, \\ y' = -\delta\theta x + y, \\ z' = z, \end{cases}$$

assim que

$$\begin{aligned} \psi_{R(\delta\theta)}(x) &= \psi(R_z(-\delta\theta)x) \\ &= \psi(x + \delta\theta y, -\delta\theta x + y, z) \\ &= \psi(x, y, z) + \delta\theta y \partial_x \psi(x, y, z) \\ &\quad - \delta\theta x \partial_y \psi(x, y, z) \\ &= \left[ 1 - i\delta\theta \frac{(x\partial_y - y\partial_x)}{i} \right] \psi(x, y, z) \end{aligned}$$

A transformação unitária infinitesimal tem a forma:

$$1 - i\delta\theta \hat{G}_z,$$

onde  $\hat{G}_z$  é o gerador infinitesimal, neste caso

$$\hat{G}_z = \frac{x(-i\hbar\partial_y) - y(-i\hbar\partial_x)}{\hbar} = \frac{x\hbar\partial_y - y\hbar\partial_x}{\hbar}$$

$$\hat{G}_2 = \frac{1}{\hbar} \hat{L}_2 ,$$

é identificado com a componente  $\hat{z}$  (em unidades de  $\hbar$ ) do momentum angular.

No caso mais geral de ter uma rotação em relação a um eixo arbitrário, orientado positivamente na direção do vetor unitário  $\hat{n}$ , e com ângulo  $\delta\theta$  (infinitesimal), temos:

$$\hat{D}(\hat{n}, \delta\theta) = 1 - i \frac{\hat{L} \cdot \hat{n}}{\hbar} \delta\theta$$

Esta forma do operador unitário infinitesimal pode ser usada para uma definição mais geral do operador de momentum angular. Escrevemos neste caso a notação  $\hat{J}$ :

$$\hat{D}(\hat{n}, \delta\theta) = 1 - i \frac{\hat{J} \cdot \hat{n}}{\hbar} \delta\theta \quad (4)$$

Assim  $\hat{J}$  é definido como o gerador infinitesimal de rotações e não como

$$\hat{L} = \hat{x} \times \hat{p}$$

A transformação unitária finita pode ser obtida por iterações. Escrevemos

$$\delta\theta = \frac{\theta}{N} , \text{ com } N \rightarrow \infty ,$$

## ♂ Transformação canônica para uma rotação infinitesimal

Procuramos uma TC do tipo:

$$F_2(q, P) = \sum q_i P_i + \varepsilon G(q, P)$$

com a transformação de coordenadas canônicas

$$Q_i = q_i + \delta q_i, \quad P_i = p_i + \delta p_i, \quad i=1,2,3,\dots,2$$

As outras coordenadas são dadas por (em 1ª ordem em  $\varepsilon$ ):

$$p_i = \frac{\partial F_2}{\partial q_i} = P_i + \varepsilon \frac{\partial G}{\partial q_i}(q, P) \Rightarrow P_i \cong p_i - \varepsilon \frac{\partial G}{\partial q_i}(q, p)$$

$$Q_i = \frac{\partial F_2}{\partial P_i} = q_i + \varepsilon \frac{\partial G}{\partial P_i}(q, P) \Rightarrow Q_i \cong q_i + \varepsilon \frac{\partial G}{\partial p_i}(q, p)$$

Seja agora uma rotação infinitesimal com ângulo  $\delta\theta$  em torno do eixo 2:

$$\begin{cases} X_i = x_i - \delta\theta y_i \\ Y_i = y_i + \delta\theta x_i, & i=1,2,\dots,N \\ Z_i = z_i \end{cases} \text{ para } N \text{ partículas}$$

Identificamos  $\varepsilon$  com  $\delta\theta$  (parâmetro sobre o qual há continuidade).

Assim temos:

$$\begin{aligned} \delta x_i &= -\delta\theta y_i, & \delta y_i &= \delta\theta x_i, & \delta z_i &= 0 \\ &= \delta\theta \frac{\partial G}{\partial P_{x_i}} & &= \delta\theta \frac{\partial G}{\partial P_{y_i}} & &= \delta\theta \frac{\partial G}{\partial P_{z_i}} \end{aligned}$$

A integração fornece:

$$\begin{aligned} G &= \sum_i (x_i P_{y_i} - y_i P_{x_i}) \text{ como solução} \\ &= \sum_{i=1}^N L_{z_i} = L_z, \text{ momento angular total} \end{aligned}$$

$F_2(q, P) = \text{Identidade} + \delta\theta L_z$

$$\mathcal{D}(\vec{n}, \theta) = \lim_{N \rightarrow \infty} \left[ 1 - \frac{i}{\hbar} \frac{\theta}{N} (\vec{J} \cdot \vec{n}) \right]^N$$

$$= \exp \left\{ - \frac{i}{\hbar} \theta (\vec{J} \cdot \vec{n}) \right\}, \quad (5)$$

que é manifestamente unitária.

### ► ESTRUTURA de GRUPO

Postulamos para os operadores  $\mathcal{D}(R)$  a mesma estrutura de grupo que para as rotações  $R$ :

i) Elemento idêntico : 1

$$\mathcal{D}(R) \cdot 1 = 1 \cdot \mathcal{D}(R) = \mathcal{D}(R), \forall R$$

ii) multiplicação :

$$R_1 R_2 = R_3 \Rightarrow \mathcal{D}(R_1) \mathcal{D}(R_2) = \mathcal{D}(R_1 R_2) = \mathcal{D}(R_3)$$

iii) inverso

$$R \cdot R' = R' \cdot R = 1 \Rightarrow \mathcal{D}(R) \mathcal{D}'(R) = \mathcal{D}'(R) \mathcal{D}(R) = 1$$

$$\text{com } \mathcal{D}'(R) = \mathcal{D}(R^{-1})$$

iv) Associatividade

$$R_1 (R_2 R_3) = (R_1 R_2) R_3 = R_1 R_2 R_3 \Rightarrow \mathcal{D}(R_1) [\mathcal{D}(R_2) \mathcal{D}(R_3)] =$$

$$= [D(R_1) D(R_2)] D(R_3) = D(R_1) D(R_2) D(R_3)$$

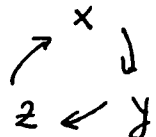
► Af. As rotações formam um grupo não-abeliano (ou não-comutativo).

Exemplo: Compor rotações infinitesimais (mas não muito) em relações à eixos diferentes.

Sabemos que:

$$R_z(\theta) = \begin{pmatrix} \cos \theta & -\sin \theta & 0 \\ \sin \theta & \cos \theta & 0 \\ 0 & 0 & 1 \end{pmatrix}$$

As rotações  $R_x(\theta)$  e  $R_y(\theta)$  em relação aos outros eixos são obtidas mudando ciclicamente as coordenadas  
 $x \rightarrow y \rightarrow z \rightarrow x \dots$



$$R_z(\theta) \begin{cases} x' = x \cos \theta - z \sin \theta \\ y' = x \sin \theta + z \cos \theta \\ z' = z \end{cases}, \quad R_x(\theta) \begin{cases} y' = y \cos \theta - z \sin \theta \\ z' = y \sin \theta + z \cos \theta \\ x' = x \end{cases}$$

$$R_y(\theta) \begin{cases} z' = z \cos \theta - x \sin \theta \\ x' = z \sin \theta + x \cos \theta \\ y' = y \end{cases}$$

obtendo-se as seguintes matrizes:

$$R_x(\theta) = \begin{pmatrix} 1 & 0 & 0 \\ 0 & \cos\theta & -\sin\theta \\ 0 & \sin\theta & \cos\theta \end{pmatrix}, \quad R_y(\theta) = \begin{pmatrix} \cos\theta & 0 & \sin\theta \\ 0 & 1 & 0 \\ -\sin\theta & 0 & \cos\theta \end{pmatrix}$$

As rotações infinitesimais até' ordem  $\theta^2$  são:

$$R_x(\theta) = \begin{pmatrix} 1 & 0 & 0 \\ 0 & 1 - \frac{\theta^2}{2} & -\theta \\ 0 & \theta & 1 - \frac{\theta^2}{2} \end{pmatrix}, \quad R_y(\theta) = \begin{pmatrix} 1 - \frac{\theta^2}{2} & 0 & \theta \\ 0 & 1 & 0 \\ -\theta & 0 & 1 - \frac{\theta^2}{2} \end{pmatrix}$$

$$e \quad R_z(\theta) = \begin{pmatrix} 1 - \frac{\theta^2}{2} & -\theta & 0 \\ \theta & 1 - \frac{\theta^2}{2} & 0 \\ 0 & 0 & 1 \end{pmatrix}$$

Assim pois calculemos  $R_x(\theta)R_y(\theta)$ , até' 2ª ordem em  $\theta$ :

$$R_x(\theta)R_y(\theta) = \begin{pmatrix} 1 - \frac{\theta^2}{2} & 0 & \theta \\ \theta^2 & 1 - \frac{\theta^2}{2} & -\theta \\ -\theta & \theta & 1 - \theta^2 \end{pmatrix}$$

e comutando as rotações:

$$R_y(\theta) R_x(\theta) = \begin{pmatrix} 1 - \frac{\theta^2}{2} & \theta^2 & \theta \\ 0 & 1 - \frac{\theta^2}{2} & -\theta \\ -\theta & \theta & 1 - \theta^2 \end{pmatrix}$$

Obtemos o comutador:

$$\begin{aligned} R_x(\theta) R_y(\theta) - R_y(\theta) R_x(\theta) &= \begin{pmatrix} 0 & -\theta^2 & 0 \\ \theta^2 & 0 & 0 \\ 0 & 0 & 0 \end{pmatrix} \\ &= \begin{pmatrix} 1 & -\theta^2 & 0 \\ \theta^2 & 1 & 0 \\ 0 & 0 & 1 \end{pmatrix} - \begin{pmatrix} 1 & 0 & 0 \\ 0 & 1 & 0 \\ 0 & 0 & 1 \end{pmatrix} \\ &= R_z(\theta^2) - I \end{aligned}$$

Obtemos a relação:

$$\begin{aligned} [R_x(\theta), R_y(\theta)] &= R_x(\theta) R_y(\theta) - R_y(\theta) R_x(\theta) \\ &= R_z(\theta^2) - I \end{aligned}$$

até 2<sup>a</sup> ordem em  $\theta$ . Esta relação pode agora ser traduzida para os  $\mathbb{D}(R)$ , usando as propriedades de grupo:

isto é:

$$\left(1 - \frac{i}{\hbar} \theta J_x - \frac{\theta^2}{2\hbar^2} J_x^2\right) \left(1 - \frac{i}{\hbar} \theta J_y - \frac{\theta^2}{2\hbar^2} J_y^2\right) - \\ - \left(1 - \frac{i}{\hbar} \theta J_y - \frac{\theta^2}{2\hbar^2} J_y^2\right) \left(1 - \frac{i}{\hbar} \theta J_x - \frac{\theta^2}{2\hbar^2} J_x^2\right)$$

$$= 1 - \frac{i}{\hbar} \theta^2 J_z - 1 = -\frac{i}{\hbar} \theta^2 J_z$$

$$= \cancel{1 - \frac{i}{\hbar} \theta (J_x + J_y)} - \frac{\theta^2}{\hbar^2} J_x J_y - \cancel{\frac{\theta^2}{2\hbar^2} (J_x^2 + J_y^2)} \\ - \left\{ \cancel{1 - \frac{i}{\hbar} \theta (J_x + J_y)} - \frac{\theta^2}{\hbar} J_y J_x - \cancel{\frac{\theta^2}{2\hbar^2} (J_y^2 + J_x^2)} \right\} \\ = -\frac{\theta^2}{\hbar^2} (J_x J_y - J_y J_x) = -\frac{\theta^2}{\hbar^2} [J_x, J_y]$$

Resultado:

$$[J_x, J_y] = i\hbar J_z$$

Obtemos a álgebra de momentum angular. Permutando cíclicamente as coordenadas

$$[J_m, J_n] = i\hbar \epsilon_{mnk} J_k , \quad (6)$$

A álgebra de momentum angular é consequência do fato que  $J$  é o gerador infinitesimal do grupo de rotações.

obtemos as relações fundamentais de comutação do momentum angular.

A definição anterior de momento angular, cobre também o caso do spin, num espaço de dimensão 2.

Os operadores definidos por:

$$S_x = \frac{\hbar}{2} (|+\rangle\langle -| + |-\rangle\langle +|) ,$$

$$S_y = i \frac{\hbar}{2} (-|+\rangle\langle -| + |-\rangle\langle +|) ,$$

$$S_z = \frac{\hbar}{2} (|+\rangle\langle +| + |-\rangle\langle -|) ,$$

satisfazem as relações de comutação (6).

Consideremos o caso de uma rotação com eixo  $\hat{z}$  e ângulo  $\phi$ :

$$\mathcal{D}_z(\phi) = \exp\left(-\frac{i}{\hbar}\phi S_z\right)$$

Para estudar o efeito deste operador de rotação consideremos seu efeito nos valores esperados do spin:

$$|\alpha\rangle \rightarrow |\alpha\rangle_R = \mathcal{D}_z(\phi)|\alpha\rangle$$

$$\langle S_x \rangle \rightarrow \langle \alpha | S_x | \alpha \rangle_R^+ = \langle \alpha | \mathcal{D}_z(\phi)^+ S_x \mathcal{D}_z(\phi) | \alpha \rangle$$

Precisamos calcular:

$$\mathcal{D}_z^+(\phi) S_x \mathcal{D}_z^-(\phi) = \\ = \exp\left(\frac{i}{\hbar} \phi S_z\right) S_x \exp\left(-\frac{i}{\hbar} \phi S_z\right)$$

Usamos a identidade útil:

$$\exp(i\lambda G) A \exp(-i\lambda G) = A + i\lambda [G, A] + \\ + \left(\frac{i^2 \lambda^2}{2!}\right) [G, [G, A]] \dots \\ \dots + \left(\frac{i^n \lambda^n}{n!}\right) [G, [G, \dots [G, A]] \dots] + \dots ,$$

o que significa que temos que calcular os comutadores sucessivos dos operadores de momento angular. Tomar no nosso caso

$$G = S_z, \quad \lambda = \frac{\phi}{\hbar}, \quad A = S_x$$

$$\text{Assim: } [G, A] = [S_z, S_x] = i\hbar S_y$$

termos ímpares

$$[G, [G, A]] = [S_z, i\hbar S_y] = i\hbar (-i\hbar S_x) = \hbar^2 S_x$$

Termos pares

$$[G, [G, [G, A]]] = [S_z, \hbar^2 S_x] = i\hbar^3 S_y$$

$$[G, [G, [G, [G, A]]]] = [S_z, i\hbar^3 S_y] = i\hbar^3 (-i\hbar) S_x = \hbar^4 S_x$$

A série completa fica:

$$\exp\left(\frac{i}{\hbar}\phi S_z\right) S_x \exp\left(-\frac{i}{\hbar}\phi S_z\right) = S_x + i^2 \phi S_y - \frac{1}{2!} \frac{\phi^3}{\hbar^2} \hbar^2 S_x - \frac{i^2}{3!} \frac{\phi^3}{\hbar^3} \cdot \hbar^3 S_y + \frac{1}{4!} \frac{\phi^4}{\hbar^4} \hbar^4 S_x \dots$$

$$= S_x \left( 1 - \frac{1}{2!} \phi^2 + \frac{1}{4!} \phi^4 \dots \right) - S_y \left( \phi - \frac{1}{3!} \phi^3 \dots \right)$$

$$= S_x \cos \phi - S_y \sin \phi ,$$

e para o valor esperado:

$$\langle \alpha | S_x | \alpha \rangle \rightarrow \langle \alpha | S_x | \alpha \rangle_R = \langle S_x \rangle \cos \phi - \langle S_y \rangle \sin \phi .$$

Da mesma maneira, podemos verificar que:

$$\langle S_y \rangle \rightarrow \langle S_x \rangle \sin \phi + \langle S_y \rangle \cos \phi$$

$S_z$  comuta com  $\mathcal{D}_z(\phi) = \exp\left(-\frac{i}{\hbar}\phi S_z\right)$ , assim temos

$$\langle S_z \rangle \rightarrow \langle S_z \rangle$$

Isto é, baixo  $\mathcal{D}_z(\phi)$ , os valores esperados verificam as fórmulas de transformação:

$$\begin{cases} \langle S_x' \rangle = \langle S_x \rangle \cos\phi - \langle S_y \rangle \sin\phi, \\ \langle S_y' \rangle = \langle S_x \rangle \sin\phi + \langle S_y \rangle \cos\phi, \\ \langle S_z' \rangle = \langle S_z \rangle, \end{cases}$$

que são as mesmas leis de transformação de vetores no espaço tridimensional. Em outras palavras, o valor esperado  $\langle S \rangle$  do spin se comporta como um vetor clássico sob uma rotação. Isto representa uma propriedade geral do momentum angular, não é um resultado apenas restrito a  $s=\frac{1}{2}$ . Em geral temos:

$$\langle J_m \rangle' = \sum_{m=x,y,z} R_{mn} \langle J_n \rangle,$$

onde  $R_{mn}$  são os elementos de matriz da rotação  $R$  de  $(3 \times 3)$ .

Pesquisar agora a ação de  $\hat{Q}_z(\phi)$  sobre um ket  $| \alpha \rangle$  particular. Usando a base  $(|+\rangle, |-\rangle)$  temos:

$$| \alpha \rangle = |+\rangle \langle +| \alpha \rangle + |-\rangle \langle -| \alpha \rangle$$

$$\hat{Q}_z(\phi) | \alpha \rangle = \exp\left(-\frac{i}{\hbar} \phi S_z\right) | \alpha \rangle$$

Lembrar que  $S_z |+\rangle = \frac{\hbar}{2} |+\rangle$

$$S_z |-\rangle = -\frac{\hbar}{2} |-\rangle,$$

portanto:

$$\mathcal{Q}_z(\phi)|\alpha\rangle = \langle +|\alpha\rangle e^{-\frac{i\phi}{2}}|+\rangle + \langle -|\alpha\rangle e^{\frac{i\phi}{2}}|->^R/4$$

O fato de aparecer o ângulo meio conduz à resultados importantes.

Rotação com  $\phi = 2\pi$ :

$$\begin{aligned}\mathcal{Q}_z(2\pi)|\alpha\rangle &= e^{-i\pi}|+\rangle\langle +|\alpha\rangle + e^{i\pi}|->\langle -|\alpha\rangle \\ &= -|\alpha\rangle\end{aligned}$$

Isto é o ket  $|\alpha\rangle$  rodado em  $2\pi$  muda de sinal!!!  
Só obtemos a identidade com uma rotação em  $4\pi$  ( $720^\circ$ )  
No valor esperado este efeito não aparece, pois

$$\langle S_x \rangle' = \left\langle \alpha | S_x | \alpha \right\rangle_R = (-1)^2 \langle \alpha | S_x | \alpha \rangle = \langle S_x \rangle.$$

Fica ainda sem resposta a pergunta se este efeito pode ser detectado.



### § Relações de Comutação e operadores escadas

Da definição de  $\vec{J}$  como gerador infinitesimal das rotacões seguem as relações fundamentais de comutação:

$$(*) \quad [J_e, J_m] = i\hbar \epsilon_{elmk} J_k, \quad k, l, m = x, y, z$$

Apartir dai podemos derivar outras propriedades:

I. O operador  $J^2 = J_x^2 + J_y^2 + J_z^2$  comuta com todas as componentes de  $\vec{J}$ . Exemplo:

$$[J^2, J_2] = [J_x^2, J_2] + [J_y^2, J_2]$$

$$= J_x [J_x, J_2] + [J_x, J_2] J_x + [J_y, J_2] J_y + J_y [J_y, J_2]$$

$$= -i\hbar J_x J_y - i\hbar J_y J_x + i\hbar J_x J_y + i\hbar J_y J_x = 0$$

Em geral:

$$[J^2, J_k] = 0, \quad k = x, y, z$$

II  $J^2$  é uma das componentes de  $\vec{J}$  podem ser diagonalizadas simultaneamente. Mas não todas, porque elas não comutam entre si (ver (\*)). Seja esta componente  $J_2$  e sejam  $|a, b\rangle$  os kets autoestados

$$\begin{aligned} J^2 |a, b\rangle &= a |a, b\rangle \\ J_2 |a, b\rangle &= b |a, b\rangle \end{aligned}$$

Precisamos determinar os autovalores  $(a, b)$ .

III Introduzimos os operadores auxiliares  $J_{\pm}$ :

► Def. Operadores Escadas  $J_{\pm}$

$$J_{\pm} \equiv J_x \pm i J_y$$

Verificamos que eles satisfazem as seguintes relações de Comutação

$$[J_+, J_-] = 2\hbar J_z$$

$$[J_z, J_{\pm}] = \pm \hbar J_{\pm}$$

As propriedades de  $J_{\pm}$  se assemelham muito com as dos operadores  $(a, a^+)$  do oscilador harmônico. A partir de I tem que

$$[J^2, J_{\pm}] = 0,$$

de maneira que  $J_{\pm}$  não mudam o autorvalor  $a$ .

IV Significado de  $J_{\pm}$

O que é  $J_{\pm}|a,b\rangle$ ? Aplicar  $J^2$  e  $J_z$

$$J^2(J_{\pm}|a,b\rangle) = J_{\pm}(J^2|a,b\rangle) = a(J_{\pm}|a,b\rangle)$$

$$J_{\pm}|a,b\rangle \longrightarrow \text{autorvalor } a \text{ para } J^2$$

$$J_z(J_{\pm}|a,b\rangle) = (J_{\pm}J_z \pm \hbar J_{\pm})|a,b\rangle$$

$$= (b \pm \frac{\hbar}{2})(J_{\pm}|a,b\rangle)$$

$$J_{\pm}|a,b\rangle \longrightarrow \text{autorvalor } (b \pm \frac{\hbar}{2}) \text{ para } J_z$$

Resumindo, escrevemos:

$$J_{\pm} |a, b\rangle = c_{\pm} |a, b \pm \frac{1}{2}\rangle$$

V Autoválues de  $J^2$  e  $J_z$ :

Para um dado  $a$ , existe um limite superior para  $b$

$$a \geq b^2$$

Notar que:

$$J^2 - J_z^2 = J_x^2 + J_y^2 = \frac{1}{2}(J_+ J_- + J_- J_+)$$

$$= \frac{1}{2}(J_+ J_+^+ + J_+^+ J_+), \text{ forma positiva definida.}$$

Assim:

$$\langle a, b | (J^2 - J_z^2) | a, b \rangle = \frac{1}{2} \langle a, b | (J_+ J_+^+ + J_+^+ J_+) | a, b \rangle$$

$$\text{Ver que } \langle a, b | J_+ J_+^+ | a, b \rangle = \langle 4 | 4 \rangle \geq 0$$

$$\text{com } |4\rangle = J_+^+ |ab\rangle. \text{ Assim também } \langle a, b | J_+^+ J_+ | a, b \rangle$$

Logo:

$$\langle a, b | (J^2 - J_z^2) | a, b \rangle = (a - b^2) \langle ab | ab \rangle$$

$$= (a - b^2) = \frac{1}{2} \langle ab | (J_+ J_- + J_- J_+) | ab \rangle \geq 0$$

$$a \geq b^2$$

(\*\*)

VI Cada vez que aplicarmos  $J_+$  a um fct  $|ab\rangle$ , mantém o autoválor  $a$ , mas acrescemos  $b \rightarrow b + \frac{1}{2}$ . Pensemos em aplicar várias vezes o operador  $J_+$ . Necessariamente este processo não pode continuar indefinidamente pois é válida a desigualdade (\*\*).

Portanto deve existir  $b_{\max}$ , para o qual

$$J_+ |a, b_{\max}\rangle = 0,$$

$$\Rightarrow J_- J_+ |a, b_{\max}\rangle = 0.$$

$$\text{mas } J_- J_+ = J_x^2 + J_y^2 - i(J_y J_x - J_x J_y) \\ = (J^2 - J_z^2) - \hbar J_z.$$

De maneira que obtemos:

$$J_- J_+ |a, b_{\max}\rangle = [(J^2 - J_z^2) - \hbar J_z] |a, b_{\max}\rangle = 0 \\ = [(a - b_{\max}^2) - \hbar b_{\max}] |a, b_{\max}\rangle$$

e como supomos que  $|a, b_{\max}\rangle$  não é o fct nulo

$$a - b_{\max}^2 - \hbar b_{\max} = 0$$

ou

$$a = b_{\max} (b_{\max} + \hbar).$$

Da mesma maneira, podemos operar com  $J_-$ , descendo no espectro. Assim deve existir um fct  $|a b_{\min}\rangle$  tal que

$$J_- |a b_{\min}\rangle = 0$$

Agora temos  $J_+ J_- |a, b_{\min}\rangle = 0$ . Usamos as identidades

$$J_+ J_- = (J_x + i J_y)(J_x - i J_y) = J_x^2 + J_y^2 - i [J_x J_y] \\ = (J^2 - J_z^2) + \hbar J_z$$

Dai obtemos:

$$a - b_{\min}^2 + t \cdot b_{\min} = 0 \Rightarrow a = b_{\min}(b_{\min} - t),$$

mas também  $a = b_{\max}(b_{\max} + t)$

Solução:  $b_{\min} = -b_{\max}$

Considerando  $b_{\max}$  positivo, temos o intervalo permitido

$$-b_{\max} \leq b \leq b_{\max}.$$

Podemos chegar ao autor valor  $b_{\max}$ , aplicando  $n$  vezes  $J_+$  a partir de  $|a, b_{\min}\rangle$ :

$$(J_+)^n |a, b_{\min}\rangle \rightarrow |a, b_{\max}\rangle$$

obtendo:  $b_{\max} = b_{\min} + n t = -b_{\max} + n t$

$b_{\max} = \frac{n}{2} t$

► Def. Usar numero  $j$ :

$$j = \frac{n}{2} = \frac{b_{\max}}{t}$$

$$\Rightarrow \left\{ \begin{array}{l} -j \leq \frac{b}{t} \leq j, \\ a = t^2 j(j+1). \end{array} \right.$$

► Def. numero  $m$ :

$$m = b/t$$

$$\Rightarrow -j \leq m \leq j$$

Se  $j$  for inteiro, todos os valores de  $m$  são inteiros.

Se  $j$  for semi-inteiro, então  $m$  é semi-inteiro. Em todos os casos temos:

$$m = -j, -j+1, \dots, j-1, j \quad ((2j+1) \text{ valores})$$

Vamos agora a notação:

$$J^2 |ab\rangle \rightarrow J^2 |jm\rangle = \hbar^2 j(j+1) |jm\rangle$$

$$J_z |ab\rangle \rightarrow J_z |jm\rangle = \hbar m |jm\rangle$$

## VII Elementos de matriz de $J_{\pm}$

$$\langle jm | J_- J_+ | jm \rangle = (\langle jm | J_+^\dagger)(J_+ | jm \rangle) \geq 0$$

$$= \langle jm | (J^2 - J_z^2 - \hbar J_z) | jm \rangle = \hbar^2 [j(j+1) - m^2 - m]$$

$$\text{Agora } J_+ |jm\rangle = c_+ |j, m+1\rangle$$

$$(\langle j, m | J_+^\dagger)(J_+ | j, m+1 \rangle) = |c_+|^2 = \hbar^2 [j(j+1) - m(m+1)]$$

$$\Rightarrow |c_+|^2 = \hbar^2 [j(j+1) - m(m+1)]$$

$$= \hbar^2 [(j-m)(j+m+1)]$$

Convenção: fator de fase nulo:

$$c_+ = \hbar \sqrt{(j-m)(j+m+1)}$$

$$\text{ou } J_+ |jm\rangle = \hbar \sqrt{(j-m)(j+m+1)} |j, m+1\rangle,$$

que automaticamente se anula para  $m=j$ .

O mesmo procedimento pode ser feito com  $J_-$ . O resultado

$$J_- |jm\rangle = \hbar \sqrt{(j+m)(j-m+1)} |j, m-1\rangle ,$$

que agora é nulo para  $m = -j$ . Ambas as expressões podem ser escritas de maneira compacta:

$$J_{\pm} |jm\rangle = \hbar \sqrt{(j\mp m)(j\pm m+1)} |j, m\pm 1\rangle$$

## § Mapping de Jordan-Schwinger para o Momentum Angular

Usamos a representação do oscilador em termos de operadores de criação e destruição. Consideramos dois tipos de osciladores independentes, que chamaremos 1 e 2, com operadores:

$$(a_1, a_1^+) \quad \text{e} \quad (a_2, a_2^+) ,$$

sendo que operadores de diferente tipo comutam.

Introduzimos os correspondentes operadores número:

$$N_1 = a_1^+ a_1 \quad , \quad N_2 = a_2^+ a_2 , \quad (1)$$

com as relações de comutação

$$[a_i, a_i^+] = 1 \quad , \quad i=1,2$$

$$[N_i, a_i] = -a_i \quad , \quad (2)$$

$$[N_i, a_i^+] = a_i^+ .$$

Como  $N_1$  e  $N_2$  comutam, podemos considerar uma base que diagonaliza ambos operadores simultaneamente:

$$\{|n_1, n_2\rangle\}$$

com

$$N_1 |n_1, n_2\rangle = n_1 |n_1, n_2\rangle, \quad N_2 |n_1, n_2\rangle = n_2 |n_1, n_2\rangle \quad (3)$$

Temos as relações:

$$a_1^+ |n_1, n_2\rangle = \sqrt{n_1 + 1} |n_1 + 1, n_2\rangle, \quad (4)$$

$$a_1^- |n_1, n_2\rangle = \sqrt{n_1} |n_1 - 1, n_2\rangle,$$

e as relações similares para  $(a_2^+, a_2^-)$ . O estado do VÁCUO é definido por

$$a_1^- |0, 0\rangle = 0, \quad a_2^- |0, 0\rangle = 0. \quad (5)$$

A partir do vácuo, podemos gerar qualquer estado do sistema de dois osciladores por:

$$|n_1, n_2\rangle = \frac{(a_1^+)^{n_1} (a_2^+)^{n_2}}{\sqrt{n_1! n_2!}} |0, 0\rangle. \quad (6)$$

Em (6), a ordem dos operadores não importa, porque eles comutam (álgebra de bósons).

Agora definimos o mapping para Momentum Angular.

Def. Usamos a notação usual de Momentum Angular

$$(7) \quad J_+ = \hbar a_1^\dagger a_2, \quad J_- = \hbar a_2^\dagger a_1 = (J_+)^*,$$

$$J_z = \frac{\hbar}{2} (a_1^\dagger a_1 - a_2^\dagger a_2) = \frac{\hbar}{2} (N_1 - N_2).$$

Interpretacão física:

As partículas de tipo 1 portam 'spin para cima'  $\frac{1}{2}$  e as partículas de tipo 2 portam 'spin  $\frac{1}{2}$  para baixo'

A projeção total do momentum angular ( $J_z$ ) é  $\frac{\hbar}{2}$  vezes a diferença entre o número de partículas de spin 'up' e o número de partículas de spin 'down'?

$J_+$  destrói uma partícula 'down' e cria uma partícula 'up'. O resultado líquido é aumentar a projeção do momentum angular em  $\hbar$ .

É imediato que a definição (7) conduz à álgebra de Momentum Angular. Por exemplo:

$$[J_z, J_+] = \frac{\hbar^2}{2} [N_1 - N_2, a_1^\dagger a_2]$$

$$= \frac{\hbar^2}{2} \left\{ [N_1, a_1^\dagger] a_2 - a_1^\dagger [N_2, a_2] \right\} = \frac{\hbar^2}{2} (a_1^\dagger a_2 + a_1^\dagger a_2) = \hbar J_+$$

TV

Obtemos (de maneira similar para  $J_-$ ):

$$[J_z, J_+] = \hbar J_+, \quad [J_z, J_-] = -\hbar J_-$$

Agora:

$$\begin{aligned} [J_+, J_-] &= \hbar^2 [a_1^+ a_2, a_2^+ a_1] = \\ &= \hbar^2 \left\{ [a_1^+, a_2^+ a_1] a_2 + a_1^+ [a_2, a_2^+ a_1] \right\} \\ &= \hbar^2 (-a_2^+ a_2 + a_1^+ a_1) = 2\hbar J_z. \end{aligned}$$

Também

$$\begin{aligned} J^2 &= J_z^2 + \frac{1}{2} (J_+ J_- + J_- J_+) = \\ &= \frac{\hbar^2}{4} (N_1 - N_2)^2 + \frac{1}{2} \hbar^2 (a_1^+ a_2 a_2^+ a_1 + a_2^+ a_1 a_1^+ a_2) \\ &= \frac{\hbar^2}{4} (N_1 - N_2)^2 + \frac{\hbar^2}{2} \left[ N_1 (1 + N_2) + N_2 (1 + N_1) \right] \\ &= \frac{\hbar^2}{4} \left[ (N_1 - N_2)^2 + 4N_1 N_2 \right] + \frac{\hbar^2}{2} (N_1 + N_2) \\ &= \frac{\hbar^2}{4} (N_1 + N_2)^2 + \frac{\hbar^2}{2} (N_1 + N_2) \\ &= \frac{\hbar^2}{4} (N_1 + N_2) [(N_1 + N_2) + 2] \\ &= \hbar^2 \left( \frac{N_1 + N_2}{2} \right) \left[ \frac{1}{2} (N_1 + N_2) + 1 \right] \end{aligned}$$

Com esse resultado, podemos definir o número 'j' do momentum angular total:

$$j \equiv \frac{n_1 + n_2}{2},$$

de maneira que  $J^2$  tem autovalores

$$J^2 |n_1, n_2\rangle = \hbar^2 j(j+1) |n_1, n_2\rangle.$$

Da mesma forma podemos definir o numero 'm' para a projeção  $J_z$

$$m \equiv \frac{n_1 - n_2}{2},$$

com  $J_z |n_1, n_2\rangle = \hbar m |n_1, n_2\rangle.$

Obtemos as relações

$$n_1 = j+m, \quad n_2 = j-m$$

Vejamos a ação dos operadores escada:

$$J_+ |n_1, n_2\rangle = \hbar a_1^\dagger a_2 |n_1, n_2\rangle = \hbar \sqrt{n_2(n_2+1)} |n_1+1, n_2-1\rangle$$

$$J_- |n_1, n_2\rangle = \hbar a_2^\dagger a_1 |n_1, n_2\rangle = \hbar \sqrt{n_1(n_1+1)} |n_1-1, n_2+1\rangle$$

Resulta claro que podemos rotular os kets  $|n_1, n_2\rangle$  com os números  $(j, m)$ . Fazemos agora a substituição:

$$|n_1, n_2\rangle \longrightarrow |jm\rangle,$$

onde resulta que

$$|jm\rangle = \frac{(a_1^+)^{j+m} (a_2^+)^{j-m}}{\sqrt{(j+m)! (j-m)!}} |0\rangle,$$

onde usamos  $|0\rangle$  para o vácuo  $|0,0\rangle$ . A álgebra agora fica:

$$J^2 |jm\rangle = \hbar^2 j(j+1) |jm\rangle,$$

$$J_z |jm\rangle = \hbar m |jm\rangle,$$

e traduzindo as expressões dos operadores escadas

$$J_+ |jm\rangle = \hbar \sqrt{(j-m)(j+m+1)} |j, m+1\rangle$$

$$J_- |jm\rangle = \hbar \sqrt{(j+m)(j-m+1)} |j, m-1\rangle$$

Em particular, o estado de máximo  $'m'$ ,  $m=j$ , é dado por

$$|j, j\rangle = \frac{(a_1^+)^{2j}}{\sqrt{(2j)!}} |0\rangle,$$

VII



que intuitivamente interpretamos como  $2j$  partículas de spin  $\frac{1}{2}$ , todas com spin 'up'.

Similarmente:

$$|j, -j\rangle = \frac{(a_2^+)^{2j}}{\sqrt{(2j)!}} |0\rangle,$$

que representa um estado formado por  $2j$  partículas de spin  $\frac{1}{2}$ , todas as partículas com spin (down).

Nesta representação, spin  $\frac{1}{2}$  (momentum angular  $j = \frac{1}{2}$ ) aparece como fundamental, sendo que a partir desse ponto, podemos construir representações de momentum angular arbitrário.

Note que, para uma representação de um dado ( $j$ ), o numero de bósons é constante, com

$$n_1 + n_2 = 2j.$$

Para o caso de  $j = \frac{1}{2}$  (spin), obtemos a relação de

$$n_1 + n_2 = 1,$$

com kets  $|1, 0\rangle$  e  $|0, 1\rangle \rightarrow \dim 2$

VIII

$$\left. \begin{array}{l} |1,0\rangle \rightarrow |\frac{1}{2},\frac{1}{2}\rangle = |+\rangle \\ |0,1\rangle \rightarrow |\frac{1}{2},-\frac{1}{2}\rangle = |- \rangle \end{array} \right\} \text{1-partícula}$$

com  $J_z \rightarrow S_z |+\rangle = \frac{\hbar}{2} |+\rangle ,$   
 $S_z |- \rangle = -\frac{\hbar}{2} |- \rangle .$

$$S_+ |+\rangle = 0 , \quad S_+ |- \rangle = \frac{\hbar}{2} |+\rangle ,$$

$$S_- |+\rangle = \frac{\hbar}{2} |- \rangle , \quad S_- |- \rangle = 0 ,$$

com matrizes:

$$S_z \doteq \frac{\hbar}{2} \begin{pmatrix} 1 & 0 \\ 0 & -1 \end{pmatrix} , \quad S_+ \doteq \begin{pmatrix} 0 & 1 \\ 0 & 0 \end{pmatrix} \frac{\hbar}{2} ,$$

$$S_- \doteq \frac{\hbar}{2} \begin{pmatrix} 0 & 0 \\ 1 & 0 \end{pmatrix} ,$$

com matrizes de Pauli:

$$\sigma_z = \begin{pmatrix} 1 & 0 \\ 0 & -1 \end{pmatrix} , \quad \sigma_+ = \begin{pmatrix} 0 & 1 \\ 0 & 0 \end{pmatrix} , \quad \sigma_- = \begin{pmatrix} 0 & 0 \\ 1 & 0 \end{pmatrix} .$$